



# **Physik der Kondensierten Materie 1**

**Rudolf Gross  
WS 2020/2021  
Teil 12**

**Vorlesungsstunde: 10.12.2020**

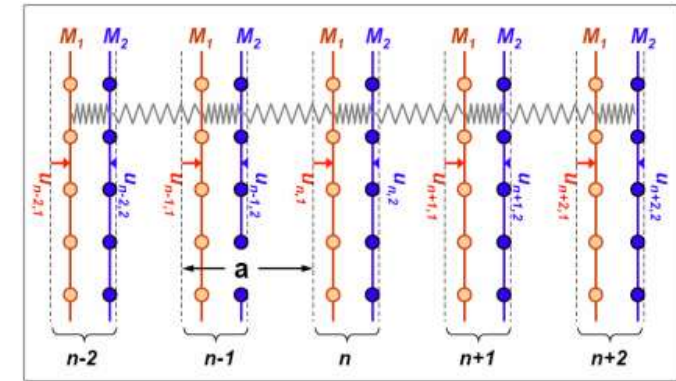
• **longitudinale Schwingungen: 1D-System, zweiatomige Basis**

$$\rightarrow 1 \cdot r' = 2, \text{ nur NN-WW} \rightarrow m - n = p = 1$$

$$M_1 \frac{\partial^2 u_n}{\partial t^2} + f (2u_n - v_n - v_{n-1}) = 0 \quad M_2 \frac{\partial^2 v_n}{\partial t^2} + f (2v_n - u_n - u_{n+1}) = 0$$

Lösung: 
$$\omega^2 = f \left( \frac{1}{M_1} + \frac{1}{M_2} \right) \pm \left[ \left( \frac{1}{M_1} + \frac{1}{M_2} \right)^2 - \frac{4}{M_1 M_2} \sin^2 \left( \frac{qa}{2} \right) \right]^{1/2}$$

Dispersionsrelation



**Grenzfälle:**

- Rand der Brillouin-Zone,  $q = \pi/a$ :

$$\omega_- \left( \frac{\pi}{a} \right) = \sqrt{\frac{2f}{M_1}}, \quad \omega_+ \left( \frac{\pi}{a} \right) = \sqrt{\frac{2f}{M_2}}$$

- Zentrum der Brillouin-Zone, langwelliger Grenzfall,  $q \rightarrow 0$ :

$$\omega_+^2 (q \rightarrow 0) \approx 2f \left( \frac{1}{M_1} + \frac{1}{M_2} \right) - v_s^2 q^2$$

$$\omega_-^2 (q \rightarrow 0) \approx v_s^2 q^2, \quad v_s^2 = \frac{a^2 f}{2(M_1 + M_2)}$$

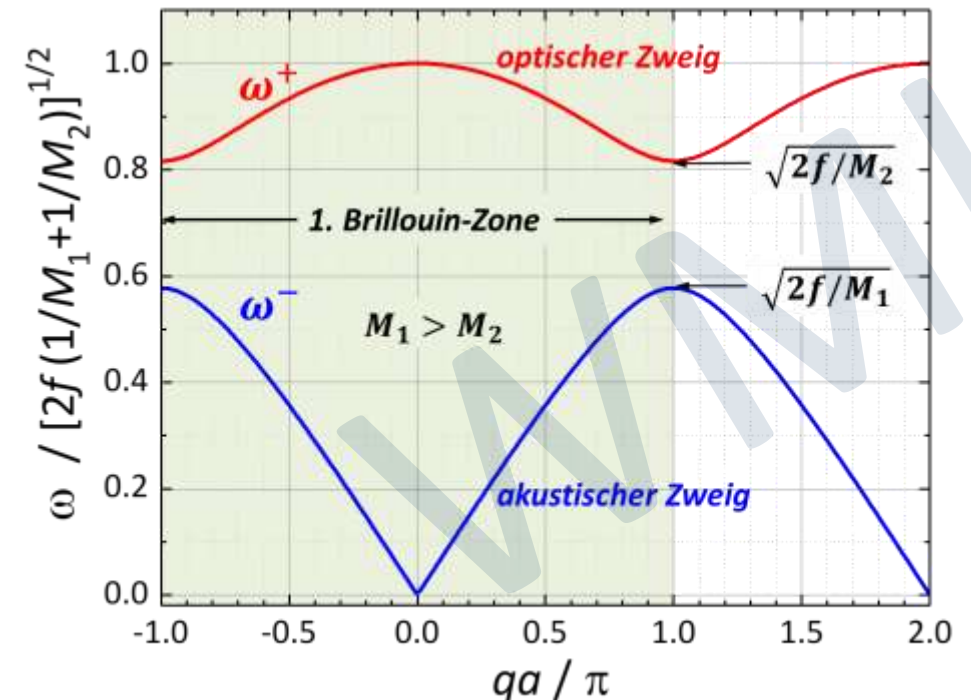
- $M_1 \gg M_2$ :

$$\omega^2 \approx \frac{f}{M_2} \pm \frac{f}{M_2} \left( 1 - 4 \frac{M_2}{M_1} \sin^2 \frac{qa}{2} \right)^{1/2} \approx \frac{f}{M_2} \pm \frac{f}{M_2} \left( 1 - 2 \frac{M_2}{M_1} \sin^2 \frac{qa}{2} \right)$$

$$\omega_+^2 \approx \frac{2f}{M_2} - \frac{2f}{M_1} \sin^2 \frac{qa}{2} \quad \omega_-^2 \approx \frac{2f}{M_1} \sin^2 \frac{qa}{2}$$

zwei Lösungszweige ( $\pm$ ):

- (i) akustischer Zweig, (ii) optischer Zweig



- Amplitudenverhältnis für  $q \rightarrow 0$

$$\frac{A_1(0)/\sqrt{M_1}}{A_2(0)/\sqrt{M_2}} = -\frac{M_2}{M_1} \text{ für } \omega_+$$

→ gegenphasiges Schwingen:  
**optischer Zweig**

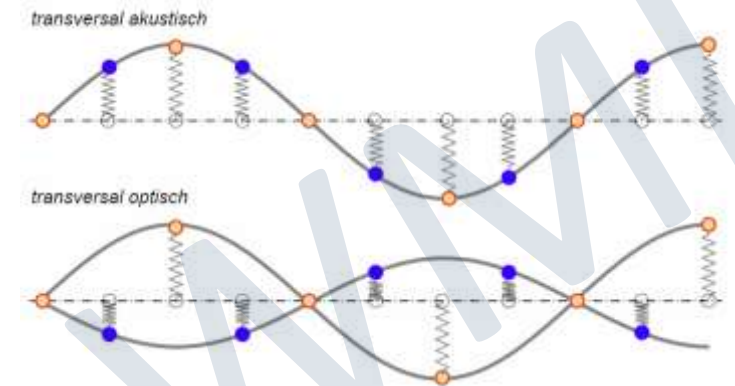
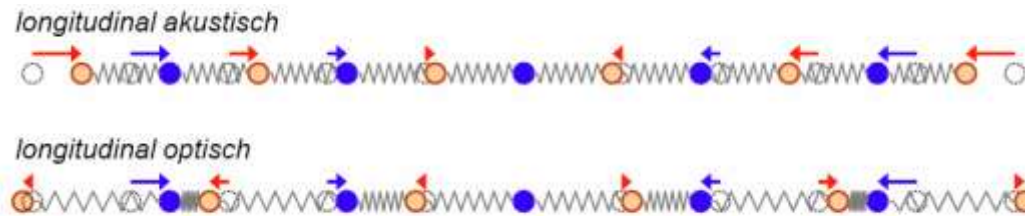
$$\frac{A_1(0)/\sqrt{M_1}}{A_2(0)/\sqrt{M_2}} = 1 \text{ für } \omega_-$$

→ Schwingen in-Phase:  
**akustischer Zweig**

- Zahl  $r$  der Phononenzweige für 3D-Festkörper mit  $r'$ -atomiger Basis:  $r = 3r'$

	einatomige Basis: $r' = 1$	mehratomige Basis: $r' > 1$
akustische Phononen	1 longitud. Zweig: $\mathbf{u} \parallel \mathbf{q}$ 2 transv. Zweige: $\mathbf{u} \perp \mathbf{q}$ <b>3</b>	1 LA Zweig 2 TA Zweige <b>3</b>
optische Phononen	(keine) <b>0</b>	$(r' - 1)$ LO Zweige $2(r' - 1)$ TO Zweige <b><math>3r' - 3</math></b>

- Schwingungstypen:



- Zustandsdichte im  $q$ -Raum

reale Festkörper haben endliche Ausdehnung  $L$

- Randbedingungen
- Auswahl von bestimmten Wellenvektoren  $q$
- insgesamt  $3r'N = r \cdot N$  Schwingungsmoden  
( $N, r', r =$  Zahl der Gitterzellen, Basisatome, Phononen-Zweige)

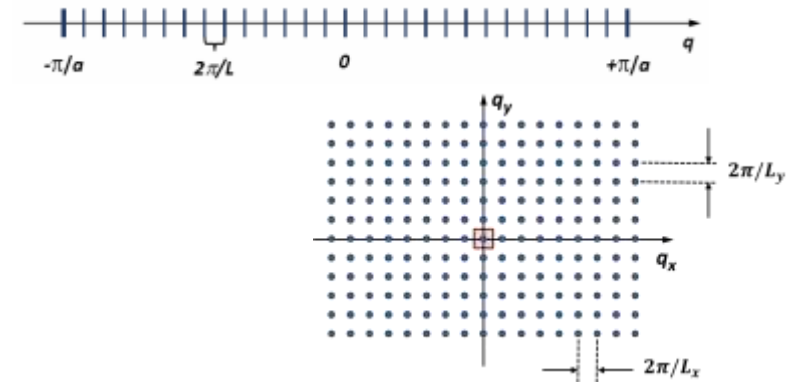


• **Zustandsdichte im  $q$ -Raum:**

**1D-Zustandsdichte:**  $Z(q) = \frac{L}{(2\pi)^1}$

**2D-Zustandsdichte:**  $Z(q) = \frac{A}{(2\pi)^2}$

**3D-Zustandsdichte:**  $Z(q) = \frac{V}{(2\pi)^3}$

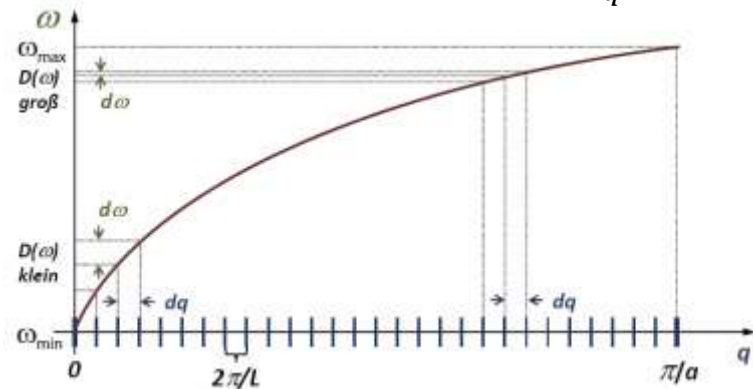


• **Zustandsdichte im  $\omega$  - Raum**

überführen von  $\sum_q \rightarrow \int d^3q \rightarrow \int d\omega$ :

$$\sum_{r,q} F[\omega_r(\mathbf{q})] = \sum_r \int_{1.BZ} d^3q Z(\mathbf{q}) F[\omega_r(\mathbf{q})] = \int_{\omega_{min}}^{\omega_{max}} d\omega F(\omega) D(\omega)$$

$$\Rightarrow D(\omega) = \sum_r \int_{1.BZ} d^3q Z(\mathbf{q}) \delta[\omega - \omega_r(\mathbf{q})]$$



konstante Zustandsdichte im  $q$ -Raum wird durch nichtlineare  $\omega(\mathbf{q})$ -Relation in  $D(\omega)$  übersetzt

**Beispiel:** nur ein Dispersionszweig ( $r = 1$ )

$$\int_{\omega(q)}^{\omega(q)+\Delta\omega(q)} D(\omega) d\omega \approx D(\omega) \Delta\omega = \frac{V}{(2\pi)^3} \int_{q(\omega)}^{q(\omega+\Delta\omega)} d^3q$$

$$d^3q = dS_q dq_{\perp} = dS_q \left( \frac{dq_{\perp}}{d\omega} \right) \Delta\omega$$

$$D(\omega) = \frac{V}{(2\pi)^3} \int_{\omega=const} \frac{dS_q}{|d\omega/dq_{\perp}|}$$

• **isotropes Medium mit einatomiger Basis**

(drei akustische Zweige: 1LA + 2TA, Annahme linearer Dispersion  $\omega_L = v_L q$ ;  $\omega_T = v_T q$ )

$$D^{(3D)}(\omega) = \frac{V}{2\pi^2} \left( \frac{1}{v_L^3} + \frac{2}{v_T^3} \right) \omega^2$$

$$D^{(2D)}(\omega) = \frac{A}{2\pi} \left( \frac{1}{v_L^2} + \frac{1}{v_T^2} \right) \omega^1$$

$$D^{(1D)}(\omega) = \frac{L}{2\pi} \frac{2}{v_L} \omega^0$$

# 5.4 Quantisierung der Gitterschwingungen

- **Bisher:**
  - klassische Behandlung von Gitterschwingungen
    - ➔ Dispersionsrelation  $\omega_r(\mathbf{q})$  mit erlaubten Wellenvektoren  $\mathbf{q}$
  - Kristall kann als Summe von harmonischen Oszillatoren aufgefasst werden (Normalmoden)
  
- **Jetzt:**
  - Anwendung des Quantenkonzepts auf Gitterschwingungen

WMI

# 5.4.1 Quantenkonzept

Max Karl Ernst Ludwig Planck  
(1858 - 1947)



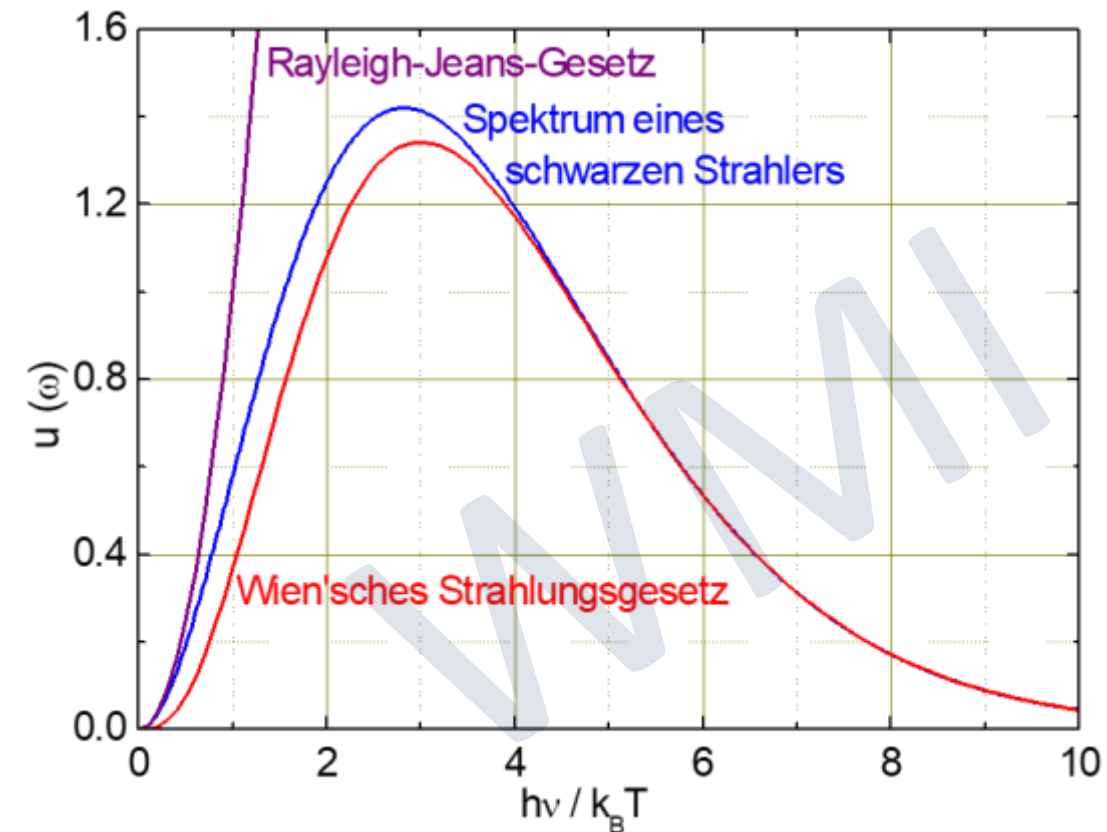
- Max Planck (14. Dezember 1900):
  - Frequenzspektrum von schwarzem Strahler nur dann erklärbar, wenn Strahlungsenergie in Portionen  $\hbar\omega$  emittiert wird
  - Quanten der elektromagnetischen Strahlung: *Photonen*

$$u(\omega, T) = \frac{\hbar}{c^3 \pi^2} \frac{\omega^3}{\exp(\hbar\omega/k_B T) - 1}$$

**Plancksches Strahlungsgesetz:**

$u(\omega, T)$ : spektrale Energiedichte pro  $d\omega$

- Übertragung des Quantenkonzepts auf Gitterschwingungen durch Einstein und Debye (um 1907)
  - Quanten des Auslenkungsfeldes: *Phononen*



- **Quantentheorie für Gitterschwingungen** (siehe R. Gross, A. Marx, Festkörperphysik, Anhang und Theorievorlesung)
  - Einführung von Normalkoordinaten
  - Bewegungsgleichung von entkoppelten Oszillatoren
  - Eigenenergien der **Normalschwingungen** sind Eigenwerte von Hamilton-Operator

$$\mathcal{H}^{\text{harm}} = \mathcal{T} + \mathcal{U}_{\text{el}}^{\text{harm}} = \sum_{n,\alpha} \frac{1}{2M_\alpha} P^2(\mathbf{r}_{n,\alpha}) + \mathcal{U}_{\text{el}}^{\text{harm}}$$

- bei 1-atomiger Basis:  $3N$  unabhängige Oszillatoren, die  $3N$  klassischen Schwingungsmoden entsprechen
- **jeder Schwingungszustand der Frequenz  $\omega_r(\mathbf{q})$  kann nur diskrete Energiewerte annehmen:**

$$\left( n_{\mathbf{q},r} + \frac{1}{2} \right) \hbar \omega_r(\mathbf{q}) \quad n_{\mathbf{q},r} = 0, 1, 2, 3, \dots$$

$n_{\mathbf{q},r}$  = Besetzungszahl

- **Gesamtenergie**

$$E = \sum_{\mathbf{q},r} \left( n_{\mathbf{q},r} + \frac{1}{2} \right) \hbar \omega_r(\mathbf{q})$$

# 5.4.2 Phononen

- im Rahmen des Welle-Teilchen-Dualismus bezeichnen wir die **Normalmoden als Phononen**

Phononen sind die Quanten des Auslenkungsfeldes in einem Kristall. Sie können als Teilchen mit

**Impuls  $\mathbf{p} = \hbar \mathbf{q}$  und Energie  $E = \hbar \omega$**

aufgefasst werden.

- unterschiedliche Besetzungszahlen  $n_{\mathbf{q},r}$  entsprechen im klassischen Bild unterschiedlichen Schwingungsamplituden
  - wir sagen, dass  $n_{\mathbf{q},r}$  Phononen des Typs  $r$  mit Wellenvektor  $\mathbf{q}$  angeregt sind
- im Gegensatz zu Photonen sind **Phononen keine fundamentalen Teilchen**
  - Phononen sind Konsequenz der Einführung von Normalkoordinaten
  - wir sprechen deshalb auch von **Quasiteilchen** mit **Quasiimpuls**





# 5.4.3 Impuls von Phononen

- wir können Phononen formal den Impuls  $\hbar\mathbf{q}$  zuordnen  
 → praktisch bei Interpretation von Streuexperimenten
- **Frage:** Existiert dieser Impuls wirklich? Falls ja, was ist seine physikalische Bedeutung?
- einfache Überlegung zeigt: Phononen können keinen wirklichen Impuls besitzen
  - Phonon-Koordinate enthält nur relative Atomkoordinaten  $\mathbf{r}_1 - \mathbf{r}_2$
  - nur uniforme Mode  $\mathbf{q} = 0$  enthält Schwerpunktkoordinate  $\frac{1}{2}(\mathbf{r}_1 + \mathbf{r}_2)$
- **Rechnung** (Kristall mit einem angeregten Phonon mit Wellenzahl  $q$ ):

$$P = M \frac{d}{dt} \sum_{p=0}^{N-1} u_p(t) \quad \text{mit } u_p(t) = A e^{i(qpa - \omega t)}$$

$$P = -i\omega MA e^{-i\omega t} \sum_{p=0}^{N-1} e^{iqpa} \quad \text{mit } x = e^{iqa} \text{ folgt } \sum_{p=0}^{N-1} x^p = (1 - x^N)/(1 - x)$$

$$P = -i\omega MA e^{-i\omega t} \frac{[1 - e^{iqNa}]}{[1 - e^{iqa}]} \quad \text{mit } q = \pm \frac{2\pi}{L} n = \pm \frac{2\pi}{Na} n \text{ folgt } e^{iqNa} = e^{\pm i2\pi n} = 1$$

**Folge:**  $P = 0$  → **Phononen besitzen keinen wirklichen Impuls sondern nur einen Quasiimpuls!**

# 5.4.3 Impuls von Phononen

- **Noether-Theorem** (1918):

Zu jeder kontinuierlichen Symmetrie eines physikalischen Systems gehört eine Erhaltungsgröße.

- **Impulserhaltung:**

- Impulserhaltung ist mit **kontinuierlicher Translationsinvarianz** verbunden

- Gitter besitzt aber nur **diskrete Translationsinvarianz**

- ➔ abgeschwächte Form der Impulserhaltung

- ➔ Impulserhaltung bis auf reziproken Gittervektor (Zustände mit  $\mathbf{q}$  und  $\mathbf{q} + \mathbf{G}$  sind identisch!!)

- ➔ **bei diskreter Translationsinvarianz bleibt nur der Kristallimpuls  $\hbar(\mathbf{q} + \mathbf{G})$  erhalten**

- **Impulserhaltung bei Streuexperiment mit Phononen:**

(inelastische Streuung eines Teilchens mit Impuls  $\mathbf{k}$  unter Vernichtung eines Phonons mit Wellenvektor  $\mathbf{q}$  ( $|\mathbf{k}'| > |\mathbf{k}|$ ))

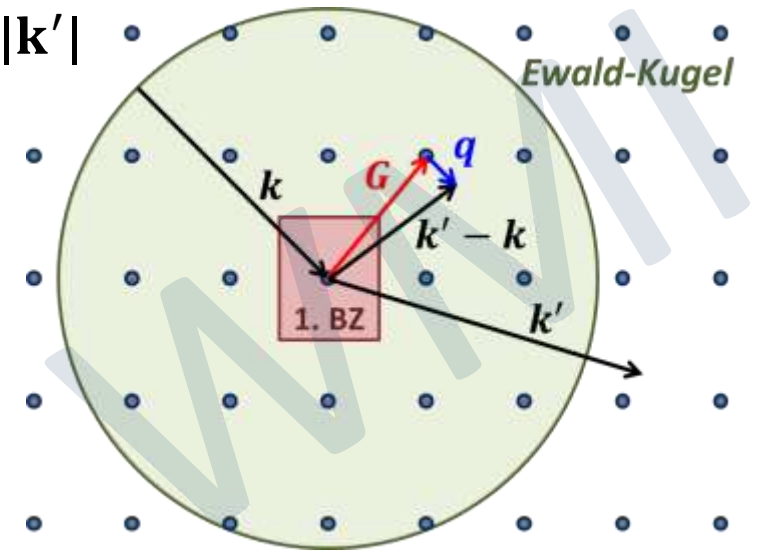
$$\mathbf{k} + \mathbf{q} + \mathbf{G} = \mathbf{k}' \quad \Rightarrow \quad \mathbf{k}' - \mathbf{k} = \mathbf{q} + \mathbf{G}$$

- obwohl Phononen im Gegensatz zu Photonen keinen echten Impuls besitzen, verhalten sie sich in Streuprozessen formal so, als ob sie einen „**Quasiimpuls**“  $\hbar\mathbf{q}$  hätten

- Impuls  $\hbar\mathbf{k}$  des gestreuten Teilchens ändert sich, wenn ein Phonon erzeugt oder vernichtet wird ➔ **Impulsübertrag  $\hbar(\mathbf{k}' - \mathbf{k})$  wird vom gesamten Kristallgitter aufgenommen**

- Energieänderung des gestreuten Teilchens geht in die Erzeugung/Vernichtung des Phonons ➔ wegen der riesigen Masse des Kristalls wird auf ihn keine Energie übertragen

$$|\mathbf{k}| \neq |\mathbf{k}'|$$



*inelastische Streuung*

# 5.5 Experimentelle Methoden

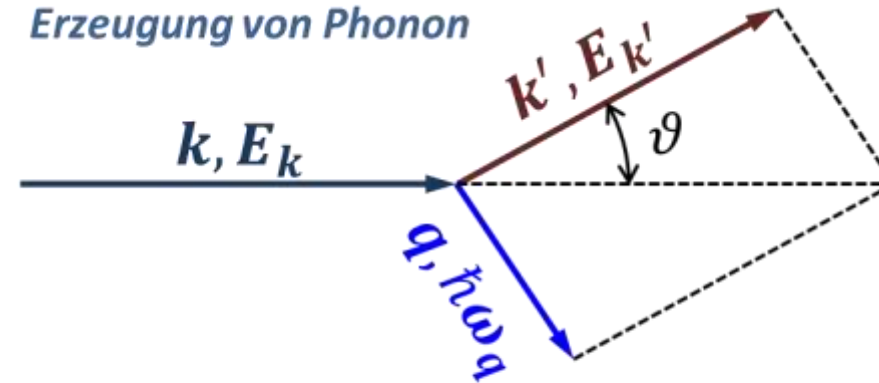
- **Frage:** Wie messen wir die Dispersionsrelation  $\omega(\mathbf{q})$  von Phononen ?
- **Antwort:** inelastische Streuung von Teilchen an Kristallgitter, bei der Phonon erzeugt oder vernichtet wird

- **Energie und Impulserhaltung:**

$$E_{\mathbf{k}'} - E_{\mathbf{k}} = \pm \hbar\omega_{\mathbf{q}}$$

$$\mathbf{k}' - \mathbf{k} = \pm \mathbf{q} + \mathbf{G}$$

Erzeugung von Phonon

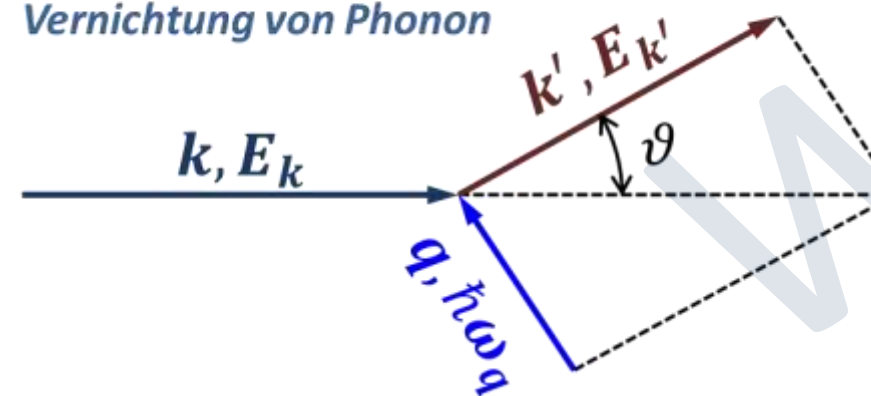


$$E_{\mathbf{k}'} = E_{\mathbf{k}} - \hbar\omega_{\mathbf{q}}$$

$$\mathbf{k}' = \mathbf{k} - \mathbf{q} + \mathbf{G}$$

$$\mathbf{G} = \mathbf{0}$$

Vernichtung von Phonon



$$E_{\mathbf{k}'} = E_{\mathbf{k}} + \hbar\omega_{\mathbf{q}}$$

$$\mathbf{k}' = \mathbf{k} + \mathbf{q} + \mathbf{G}$$

# 5.5 Experimentelle Methoden

- mögliche Messsonden: *Photonen, Neutronen, Elektronen,.....*
- **Wichtig:** Unterschiedliche Messsonden haben unterschiedliche  $E(k)$ -Beziehungen:

$$E(k) = \frac{\hbar^2 k^2}{2M_N} \quad \text{Neutronen}$$

$$E(k) = \hbar k c \quad \text{Photonen}$$

- notwendiger maximaler Impulsübertrag:

$$\Delta k \approx \pi/a \approx 10^8 \text{ cm}^{-1}$$

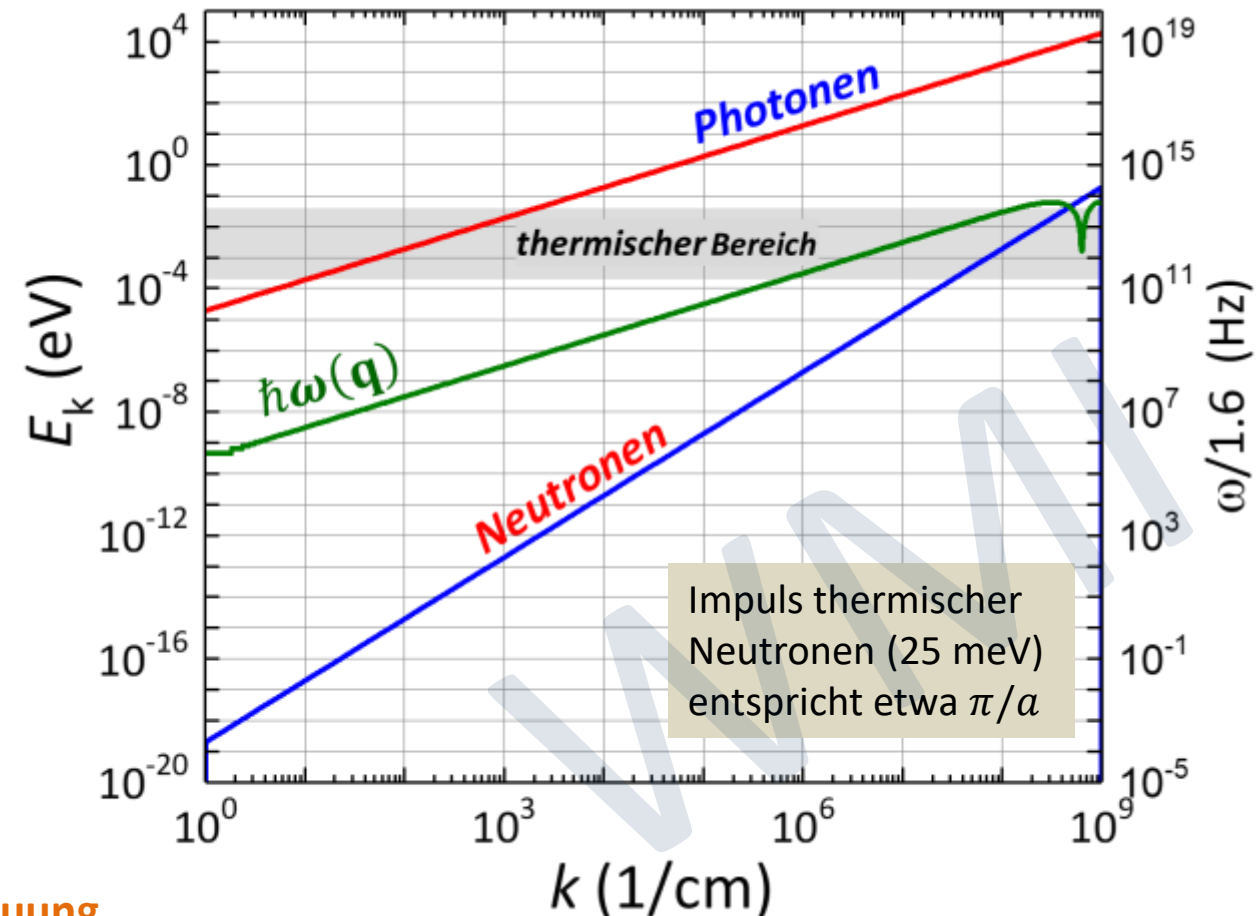
- **Photonen:**

große Photonenenergie  $E_\gamma > 1 \text{ keV}$  notwendig  
 → erfordert hohe relative Energieauflösung von  $\Delta E/E \approx 10^{-6}$   
 → möglich mit **Synchrotronstrahlungsquellen**

- **Elektronen:**

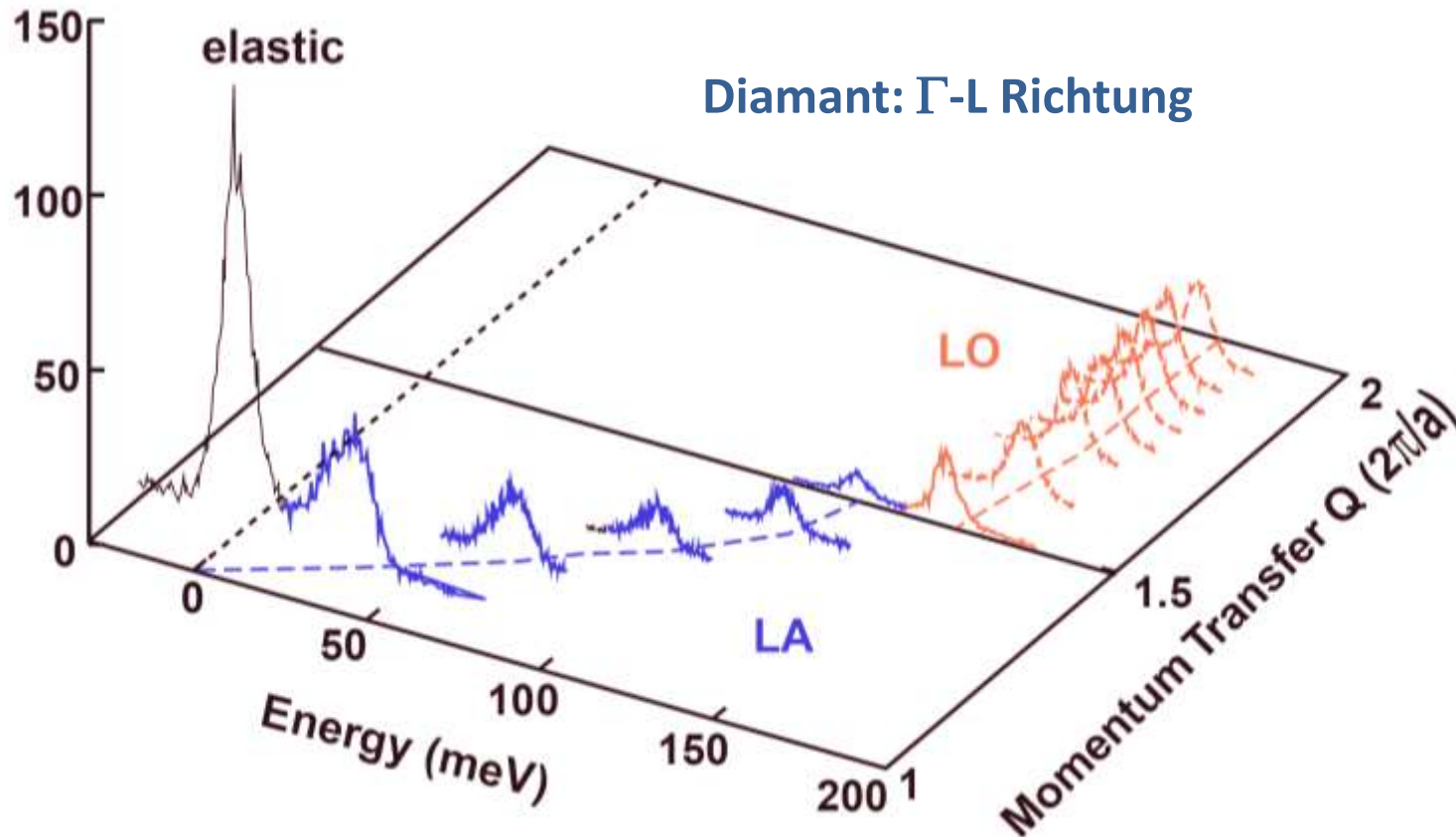
große Energie  $E_{el} \approx 150 \text{ eV}$  notwendig,  
 außerdem geringe Eindringtiefe

→ Methode der Wahl ist **inelastische Neutronenstreuung**



# 5.5 Experimentelle Methoden

- inelastische Röntgenstreuung



Quelle: Argonne National Laboratory

- großer Impulsübertrag durch Röntgen-Photonen mit großem  $\omega$  möglich:

$$k_{\text{Photon}} = \frac{\omega}{c} \sim \frac{\pi}{a} \text{ für } \hbar\omega \sim 1 - 10 \text{ keV}$$

trotz großem  $c$ , da  $\omega$  sehr groß

- sehr kleine relative Energieänderung des Röntgenphotons ( $\sim 1 - 10 \text{ keV}$ ) wegen kleiner Phononenergie ( $\lesssim 100 \text{ meV}$ )

- erfordert:
  - monochromatisches Röntgenlicht
  - hochauflösende Spektrometer

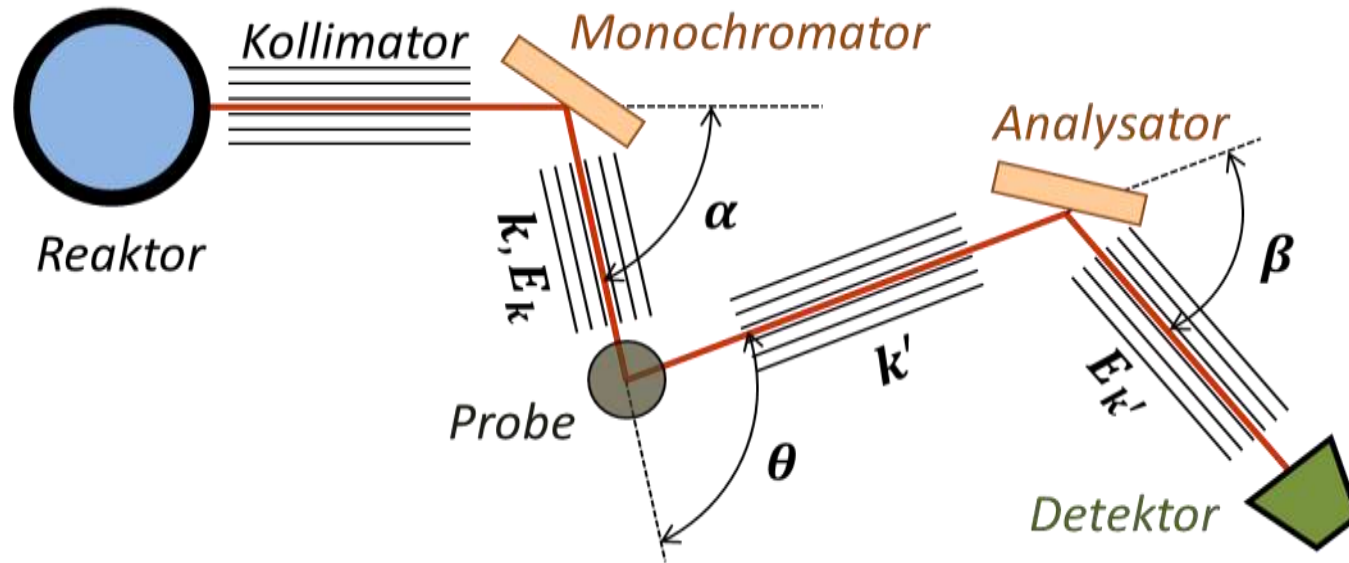
➔ mit Synchrotrons kann sehr intensive, monochromatische Röntgenstrahlung erzeugt werden



# 5.5.1 Inelastische Neutronenstreuung

- Typischer experimenteller Aufbau:

**Dreiachsenspektrometer** (Nobelpreis für Physik (1994) an *Bertram Brookhouse* und *Clifford Shull*)



$\alpha$ : Selektion von  $E_k$  (Monochromator)  
 $\theta$ : Selektion von  $\mathbf{k}' - \mathbf{k}$   
 $\beta$ : Selektion von  $E_{k'}$  (Analysator)

$$\pm \hbar\omega_{\mathbf{q}} = E_{\mathbf{k}'} - E_{\mathbf{k}} = \frac{\hbar^2 (\mathbf{k}'^2 - \mathbf{k}^2)}{2M_N} \quad (\text{Energieübertrag})$$

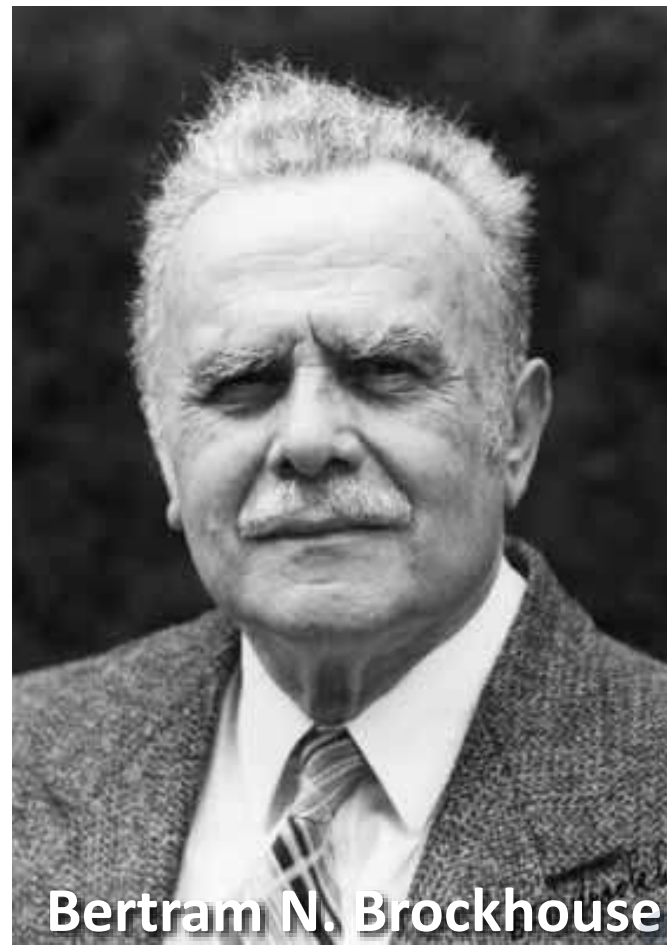
$$\pm \mathbf{q} + \mathbf{G} = \mathbf{k}' - \mathbf{k} \quad (\text{Impulsübertrag})$$



# 5.5.1 Inelastische Neutronenstreuung



Clifford G. Shull



Bertram N. Brockhouse

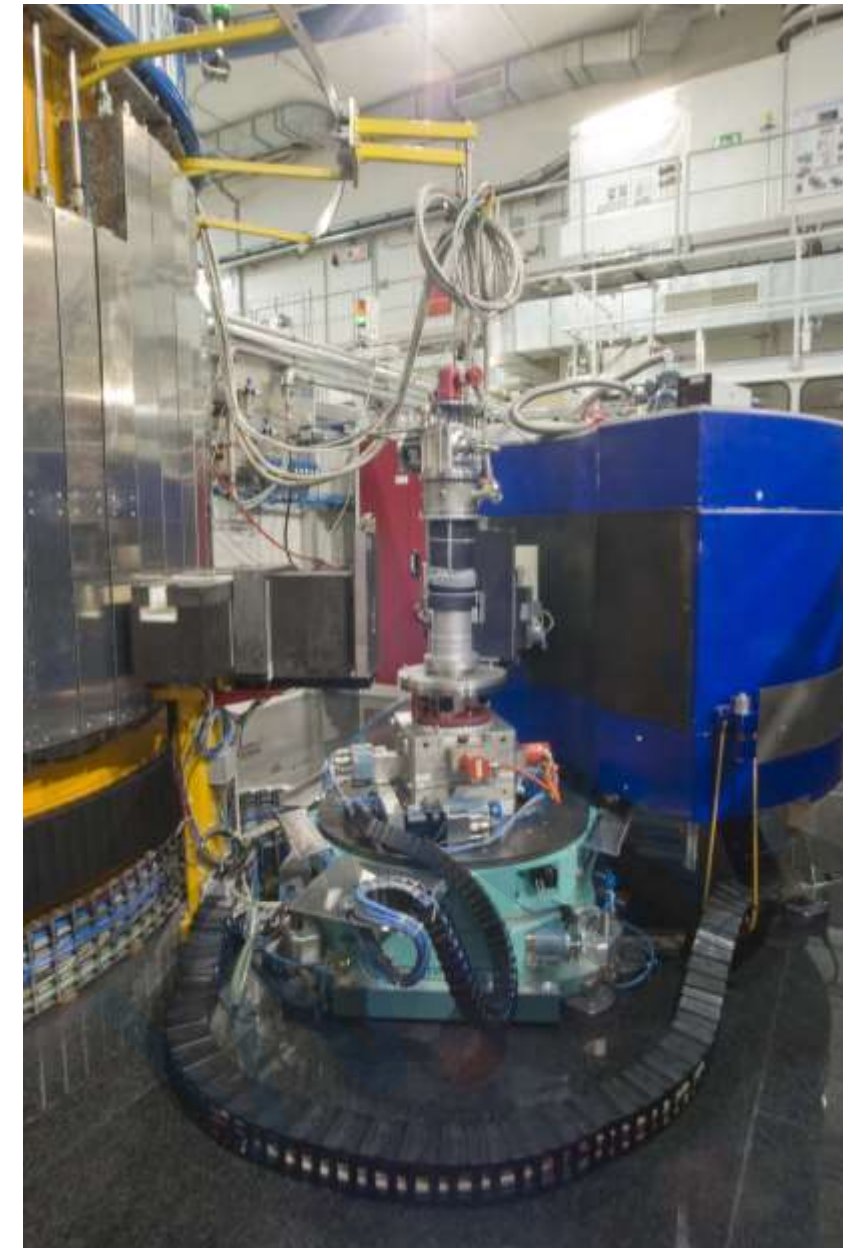
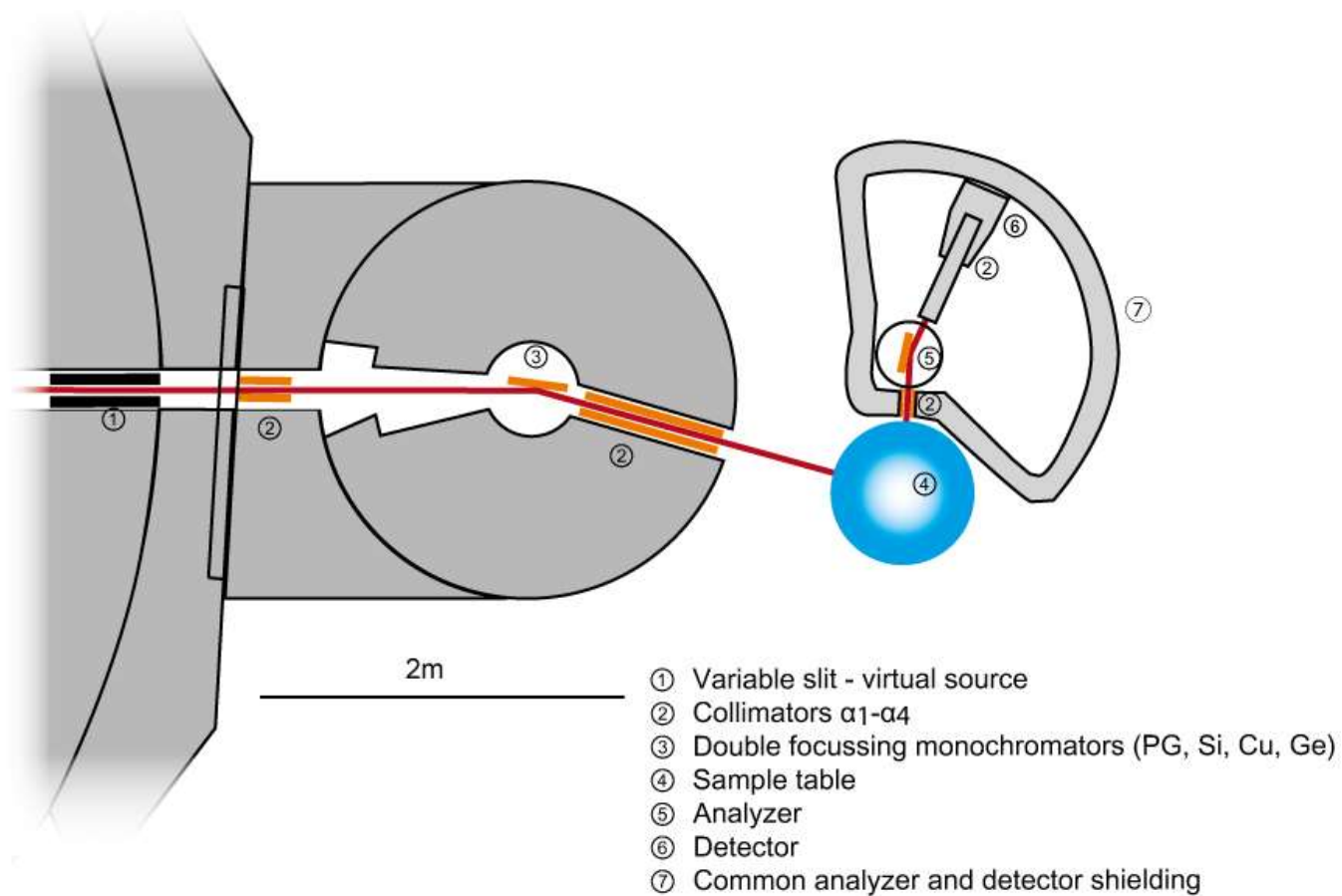
**Nobelpreis für Physik, 1994**

*... für ihre Beiträge zur Entwicklung der Neutronenstreuung und -spektroskopie und deren Anwendung in der Festkörperphysik*



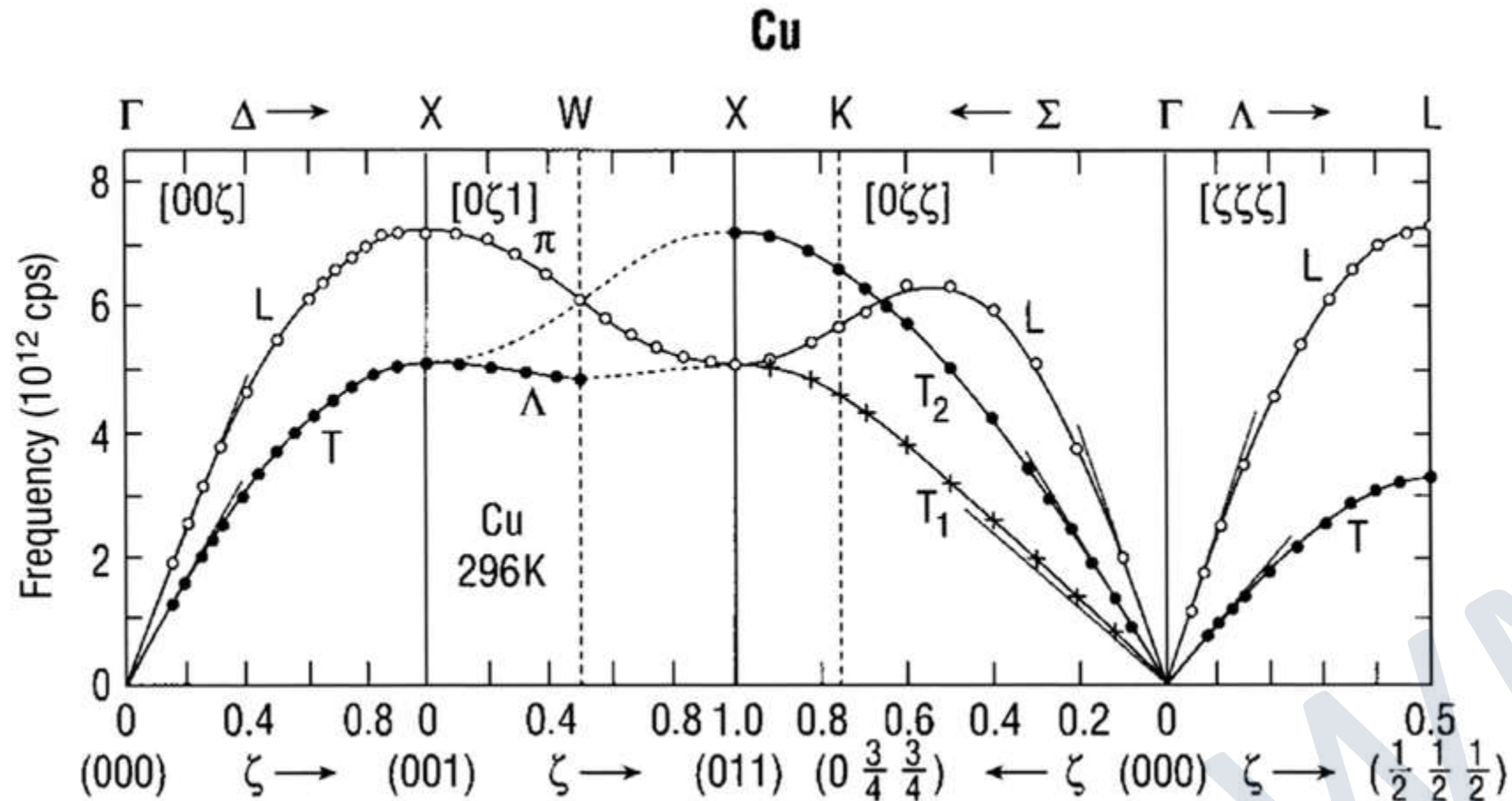
# 5.5.1 Inelastische Neutronenstreuung

PUMA: Thermisches Dreiachsenspektrometer am Heinz Maier-Leibnitz Zentrum



# 5.5.1 Inelastische Neutronenstreuung

Dispersionsrelation der Phononen in Cu gemessen mit inelastischer Neutronenstreuung



R. M. Kicklow, G. Gilat, H. G. Smith, L. J. Raubenheimer, and M. K. Wilkinson, Phys. Rev. **164**, 922 (1967).

# 5.5.2 Inelastische Lichtstreuung

- **Problem:** Impulsübertrag von Licht ist sehr klein

Impuls von Photonen:  $\omega = c k \rightarrow k = \frac{\omega}{c}$   
 sichtbarer Bereich:  $k = \frac{2\pi}{\lambda} \simeq \frac{6}{600 \text{ nm}} \simeq \frac{1}{10^{-5} \text{ cm}} \simeq \mathbf{10^5 \text{ 1/cm}}$

Rand der 1. BZ:  
 $q = \frac{\pi}{a} \sim \frac{1}{10^{-8} \text{ cm}} \sim \mathbf{10^8 \text{ 1/cm}}$

- **Impulsübertrag von Photonen im sichtbaren Bereich**

- Photonen:  $\nu = 10^{15} - 10^{16} \text{ Hz}$
- Phononen:  $\omega_{\text{max}}/2\pi \simeq 10^{14} \text{ Hz}$

➔ Frequenzverschiebung  $\sim 1 - 10 \%$

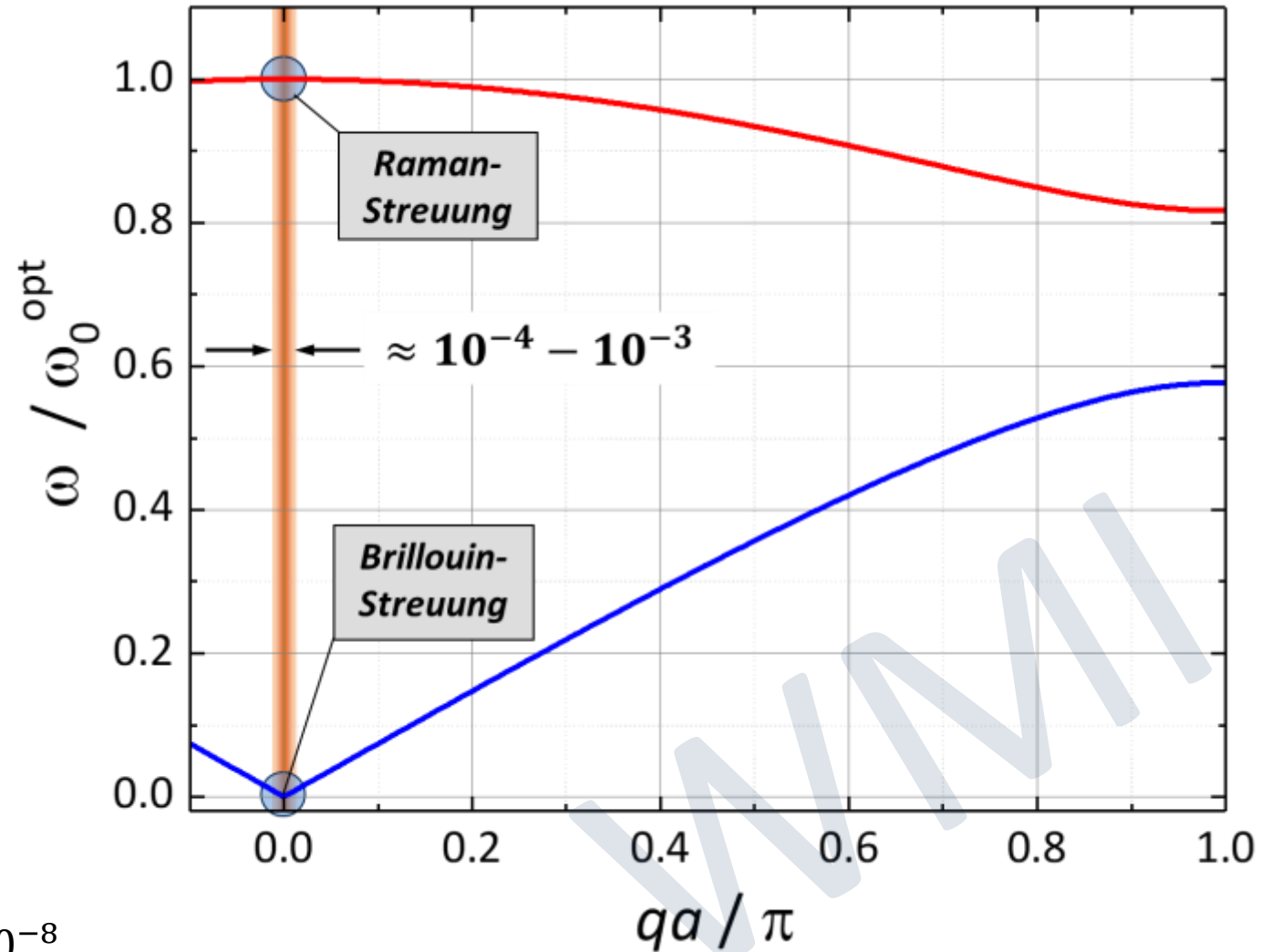
➔ Impulsübertrag  $\Delta k = k' - k \sim 0.01 - 0.1 \nu/c \sim 10^{-3} - 10^{-4} \text{ \AA}^{-1} \Rightarrow \Delta k \ll \pi/a$  (Ausdehnung der 1. BZ)

➔ **die inelastische Lichtstreuung mit sichtbarem Licht ist beschränkt auf das Zentrum der 1. Brillouin-Zone:  $q \simeq 0$**



# 5.5.2 Inelastische Lichtstreuung

- **Raman-Streuung:**
  - inelastische Lichtstreuung an optischen Phononen
    - ➔ moderate Energieauflösung notwendig, da  $\omega(q \simeq 0)$  hoch
- **Brillouin-Streuung:**
  - inelastische Lichtstreuung an akustischen Phononen
    - ➔ hohe Energieauflösung notwendig, da  $\omega(q \simeq 0)$  klein
- **Lichtquellen:**
  - Laser
    - Streuintensität  $\propto \nu^4 \rightarrow$  kurzwellige Laser (gilt nur für  $\nu \gg \omega$ )
  - hochauflösende Spektrometer:  $\Delta\nu/\nu \simeq 10^{-8}$



# 5.5.2 Inelastische Lichtstreuung



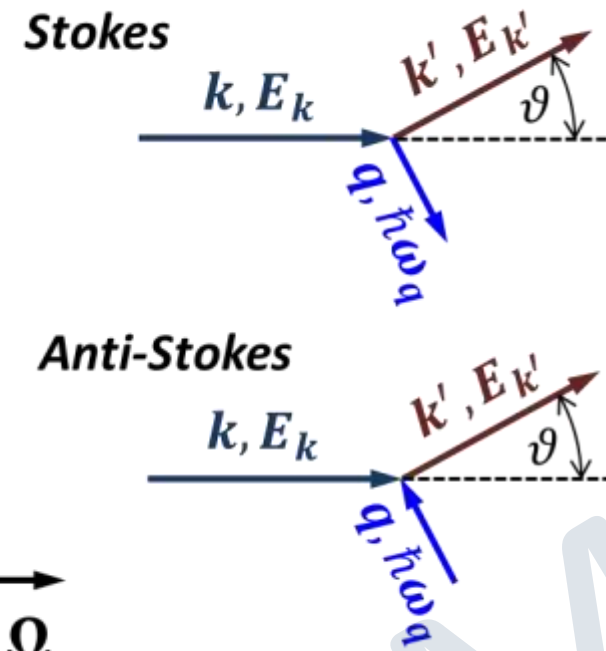
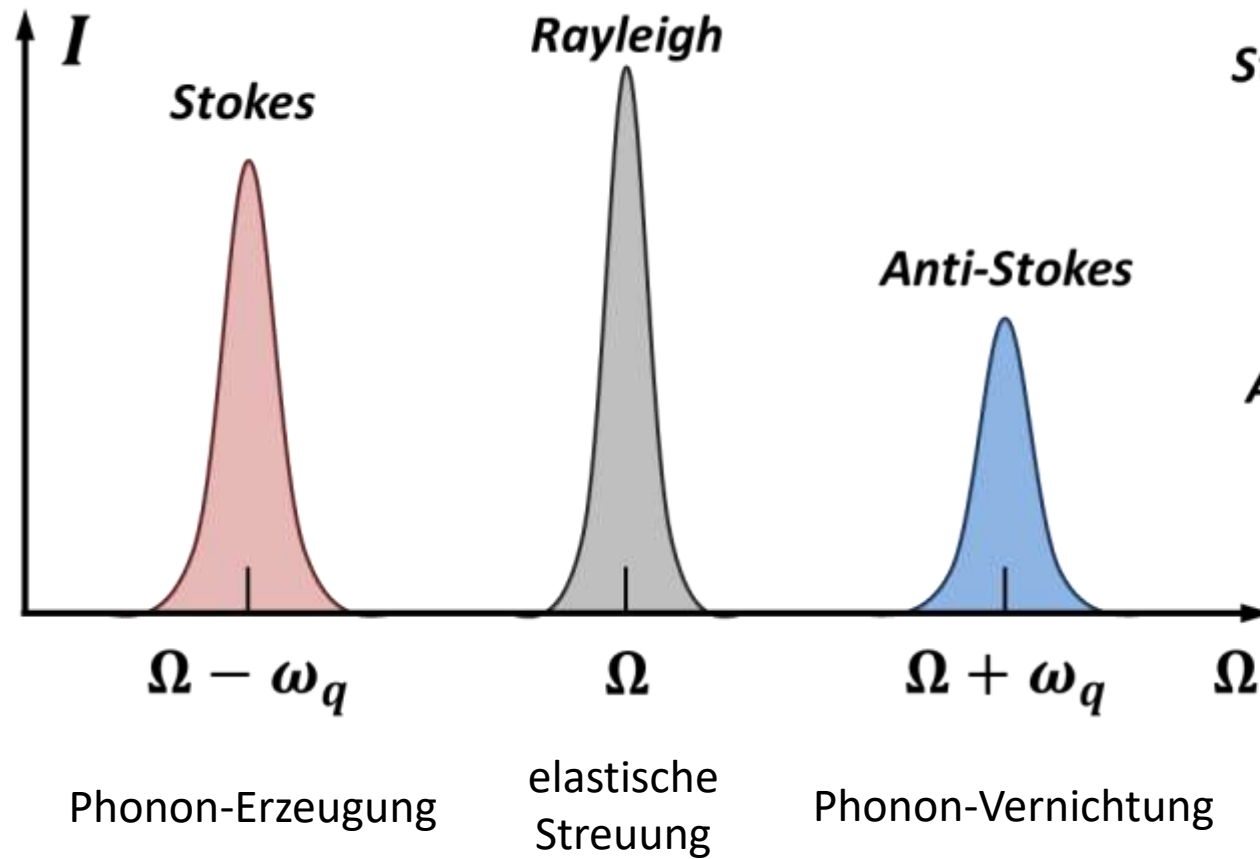
**Sir Chandrasekhara Venkata Raman (1888 – 1970)**

**Nobelpreis für Physik 1930:**

„für seine Arbeiten über die Streuung des Lichtes und die Entdeckung des nach ihm benannten Effekts“ (Raman-Streuung)

# 5.5.2 Inelastische Lichtstreuung

- Stokes- und Anti-Stokes-Linie

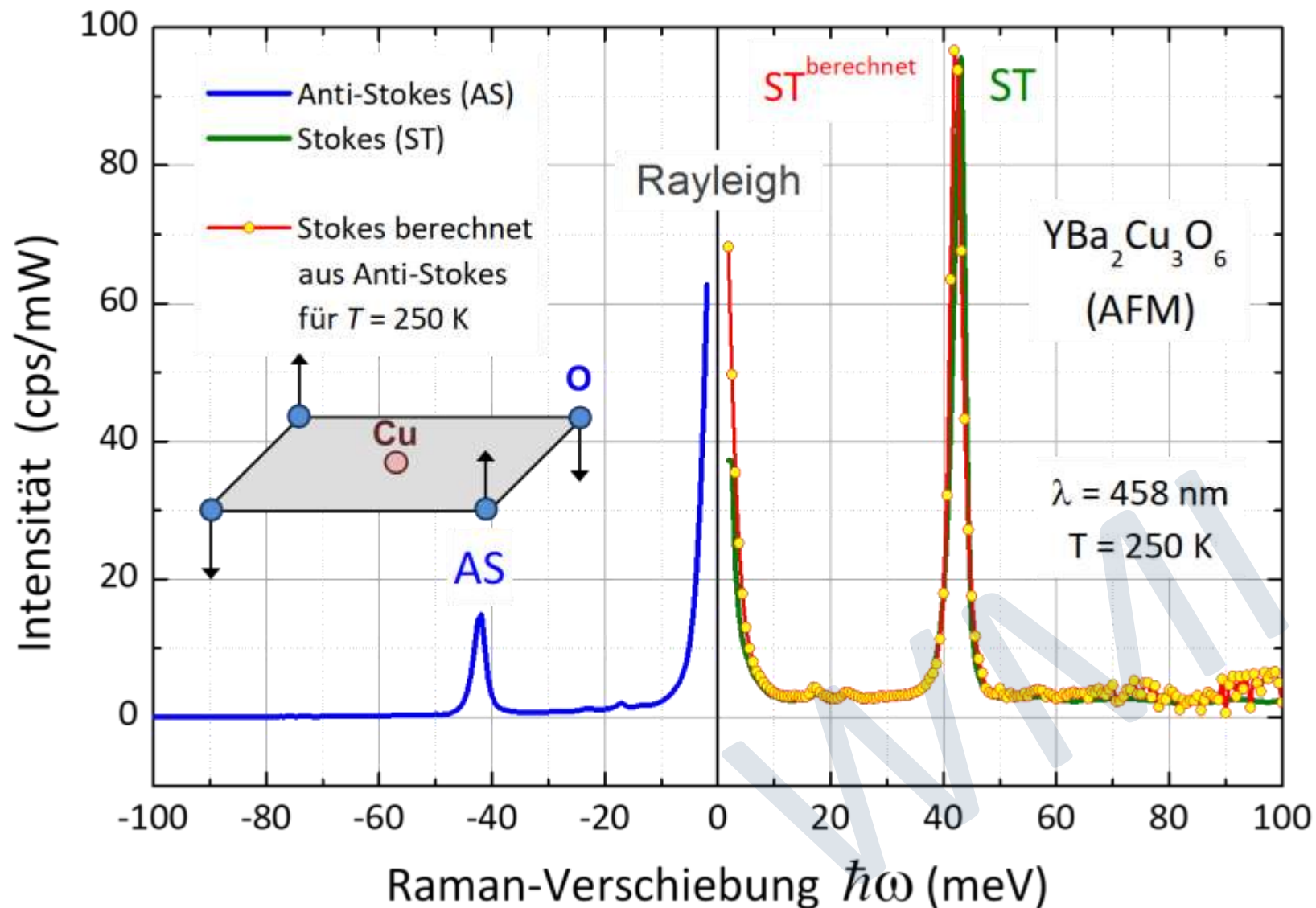


$$\frac{I(\Omega + \omega_q)}{I(\Omega - \omega_q)} = \frac{\langle n_q \rangle}{\langle n_q + 1 \rangle} = \exp\left(-\frac{\hbar\omega_q}{k_B T}\right)$$

# 5.5.2 Inelastische Lichtstreuung

- Beispiel:

Raman-Streuung an  
**Hochtemperatur-Supraleiter**  
 (WMI)



# 6 Thermische Eigenschaften des Kristallgitters

- Diskussion der mit den Phononen verbundenen thermischen Festkörpereigenschaften

zunächst noch vollkommene *Vernachlässigung des Elektronensystems*

→ nachfolgende Diskussion relevant für Isolatoren

- Wichtige thermische Eigenschaften des Kristallgitters:

- i. spezifische Wärme
- ii. thermische Ausdehnung
- iii. Wärmeleitfähigkeit





# 6.1 Spezifische Wärme

## 6.1.1 Definition der Wärmekapazität und der spezifischen Wärme

- Wärmekapazität

$$C \equiv \frac{\text{zugeführte Wärmemenge}}{\text{Temperaturerhöhung}} = \frac{\Delta Q}{\Delta T} \quad \left[ \frac{\text{J}}{\text{K}} \right]$$

- Wärmekapazität pro Stoffmenge 1 mol → **molare Wärmekapazität**

$$c^{\text{mol}} \equiv \frac{\Delta Q}{\Delta T \cdot \text{mol}} \quad \left[ \frac{\text{J}}{\text{K} \cdot \text{mol}} \right]$$

- Wärmekapazität pro Masse bzw. Volumen → **spezifische Wärmekapazität**

$$c^{\text{mass}} \equiv \frac{\Delta Q}{\Delta T \cdot \text{Masse}} \quad \left[ \frac{\text{J}}{\text{K} \cdot \text{kg}} \right]$$

$$c^{\text{vol}} \equiv \frac{\Delta Q}{\Delta T \cdot \text{Volumen}} \quad \left[ \frac{\text{J}}{\text{K} \cdot \text{m}^3} \right]$$

die hochgestellten Indizes werden meist weggelassen!

# 6.1.1 Definition der spezifischen Wärme

- Zusammenhang von Wärmekapazität und innerer Energie folgt aus 1. Hauptsatz

$$dQ = dU - dW = dU + pdV$$

zugeführte Wärmemenge      Änderung der inneren Energie      am System geleistete Arbeit

- Wärmekapazität bei konstantem Volumen und konstantem Druck

$$C_V = \left. \frac{\partial Q}{\partial T} \right|_V = \left. \frac{\partial U}{\partial T} \right|_V$$

$$C_p = \left. \frac{\partial Q}{\partial T} \right|_p$$

**Wichtig:** es gilt  $C_p \geq C_V$ , da für  $p = const.$  ein Teil der zugeführten Wärmemenge für die Volumenausdehnungsarbeit aufgebraucht wird

ohne Herleitung:

$$C_p - C_V = TV \alpha_V^2 B$$

$\alpha_V =$  Volumenausdehnungskoeffizient,  $B =$  Bulkmodul

typischerweise ist  $C_p - C_V \ll C_p$ , so dass oft nicht genau zwischen beiden Größen unterschieden wird

# 6.1.2 Klassische Diskussion von $C_V$

- Beschreibung des Kristallgitters mit einem System aus  $3r'N$  wechselwirkungsfreien Schwingungsmoden

$N$  = Zahl der Gitterzellen,  $r'$  = Zahl der Basisatome in Gitterzelle, 3 = räumliche Dimension

- Gleichverteilungssatz der klassischen Thermodynamik** (Herleitung: R. Gross, A. Marx, Festkörperphysik, 3. Auflage, S. 216)

jeder Schwingungsmode kann  $\frac{1}{2}k_B T$  für ihre mittlere kinetische und potentielle Energie zugeordnet werden ( $\frac{1}{2}k_B T$  pro Freiheitsgrad)

$$U = U^{\text{eq}} + \underbrace{3r'N}_{\text{\# Schwingungsmoden}} \cdot \underbrace{2 \cdot \frac{1}{2}k_B T}_{\text{kinetische und potentielle Energie}} = U^{\text{eq}} + 3r'Nk_B T$$



$$C_V = \left. \frac{\partial U}{\partial T} \right|_V = 3r'Nk_B$$

**Gesetz von Dulong und Petit**

- mit Avogadro-Konstante  $N_A = 6.022 \times 10^{23} \text{ mol}^{-1}$  folgt  $N = \nu N_A$  ( $\nu$  = Molzahl) und damit:

$$c^{\text{mol}} = 3r'N_A k_B = 3r'R = 3r' \cdot 8.31 \text{ J/mol} \cdot \text{K}$$

$$R = 8.314 \text{ J/mol} \cdot \text{K}$$

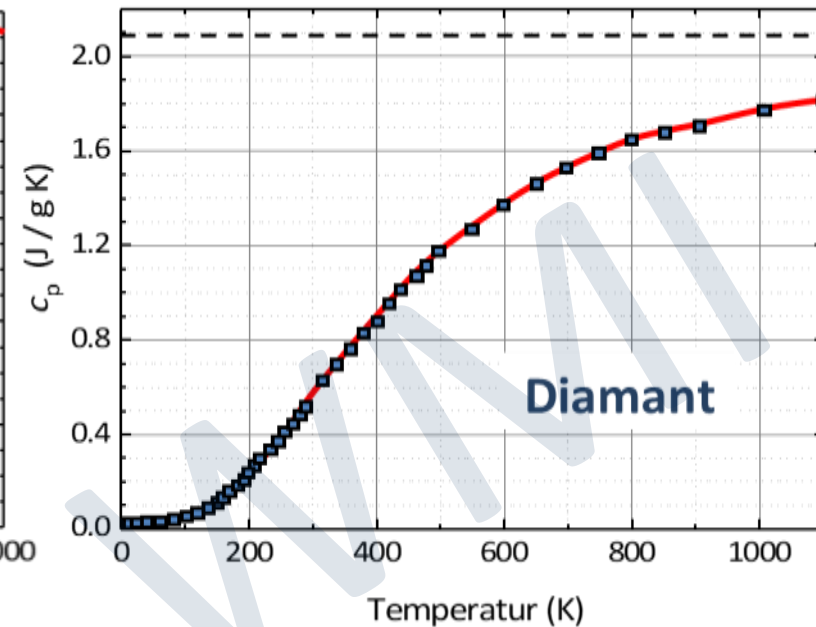
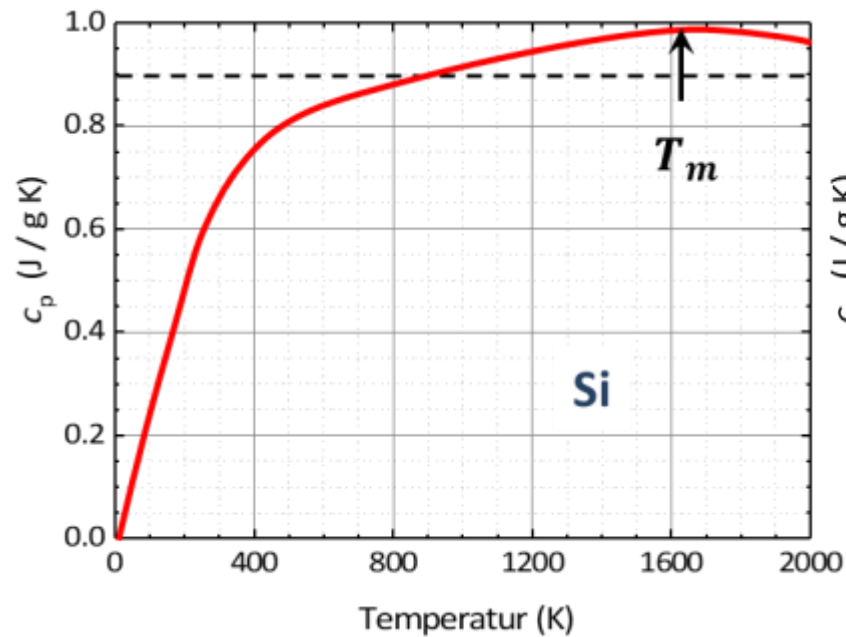
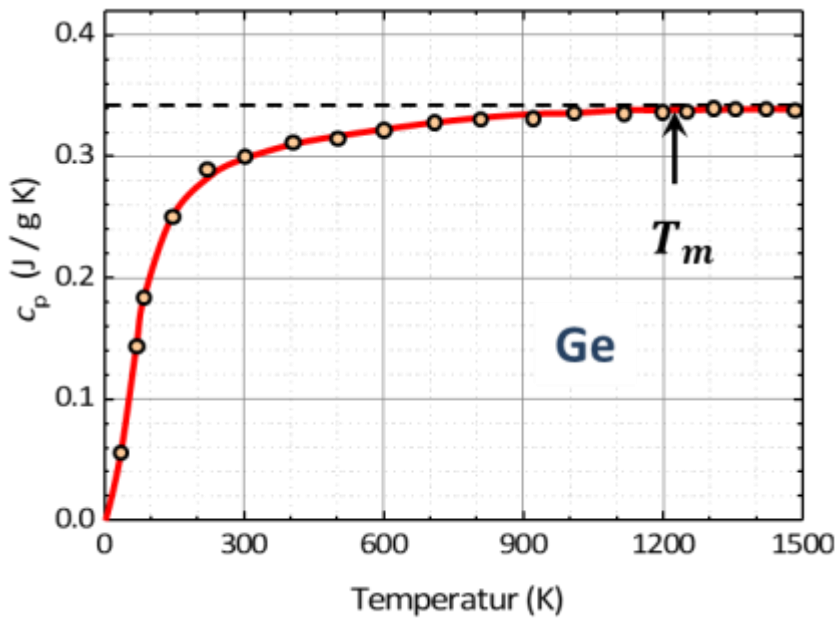
**allgemeine Gaskonstante**

gilt nur im Hooke'schen Bereich, da sonst Schwingungsmoden nicht wechselwirkungsfrei  
 → **anharmonische Effekte**

# 6.1.2 Klassische Diskussion von $c_V$

- Experimentelle Befunde:

- gemessener Wert  $c_p$  nähert sich für hohe  $T$  Dulong-Petit-Wert an, liegt aber meist etwas darüber, da Dulong-Petit-Wert ja  $c_V$  darstellt
- bei tiefen  $T$  ist das klassische Ergebnis völlig falsch → *klassische Betrachtung hier unzulänglich*  
→ *quantenmechanische Diskussion notwendig*



# Zusammenfassung: Teil 12, 10.12.2020/1

- **Phononen:**  $\mathbf{p} = \hbar \mathbf{q}$      $E = \hbar \omega$

Phononen sind die Quanten des Auslenkungsfeldes in einem Kristall. Sie können als Teilchen mit **Impuls**  $\mathbf{p} = \hbar \mathbf{q}$  und **Energie**  $E = \hbar \omega$  aufgefasst werden.

- **Gesamtenergie des Phononensystems**

$$E = \sum_{\mathbf{q}, r} \left( n_{\mathbf{q}, r} + \frac{1}{2} \right) \hbar \omega_r(\mathbf{q}) \quad n_{\mathbf{q}, r} = \text{Besetzungszahl (Bose-Einstein-Statistik)}$$

- **Impuls von Phononen**

Phononen besitzen keinen wirklichen Impuls    → **Quasi-Impuls**  $\hbar \mathbf{q}$

Impuls- und Energieerhaltung bei Streuprozessen:  $E_{\mathbf{k}'} - E_{\mathbf{k}} = \pm \hbar \omega_{\mathbf{q}}$   
 $\mathbf{k}' - \mathbf{k} = \pm \mathbf{q} + \mathbf{G}$     keine kontinuierliche sondern nur diskrete Translationsinvarianz

Impulsübertrag  $\Delta \mathbf{k} = \mathbf{k}' - \mathbf{k}$  des gestreuten Teilchens wird vom gesamten FK aufgenommen, der Energieübertrag auf den FK ist allerdings wegen seiner riesigen Masse verschwindend klein

- **experimentelle Bestimmung der Phononendispersionsrelation**

- **inelastische Neutronenstreuung: 3-Achsen-Spektrometer** (Nobelpreis für Physik 1994)  
 → Impuls thermischer Neutronen (25 meV) entspricht etwa  $\pi/a$

- **inelastische Lichtstreuung:** (i) **Brillouin-Streuung** (an akustische Phononen)  
 (ii) **Raman-Streuung** (an optische Phononen)

→ geringer Impulsübertrag durch Photonen (sichtbarer Bereich):

$$k_{\text{Photon}} = \frac{\omega}{c} \sim 10^5 \frac{1}{\text{cm}} \ll \frac{\pi}{a} \sim 10^8 \frac{1}{\text{cm}}, \text{ da } c \text{ sehr groß ist}$$

→ Zugang nur zum Zentrum der Brillouin-Zone



- **inelastische Röntgenstreuung:**

→ großer Impulsübertrag durch Röntgen-Photonen möglich bei großem  $\omega$ :

$$k_{\text{photon}} = \frac{\omega}{c} \sim \frac{\pi}{a} \text{ für } \hbar\omega \sim 1 - 10 \text{ keV trotz großem } c, \text{ da } \omega \text{ sehr groß}$$

→ relative Energieänderung des Röntgenphotons ( $\sim 1 - 10 \text{ keV}$ ) klein wegen kleiner Phononenenergie ( $\leq 10 - 100 \text{ meV}$ )

→ erfordert: (i) **monochromatisches Röntgenlicht**  
(ii) **hochauflösende Spektrometer**

• **Wärmekapazität des Kristallgitters**

$$C \equiv \frac{\text{zugeführte Wärmemenge}}{\text{Temperaturerhöhung}} = \frac{\Delta Q}{\Delta T} \left[ \frac{\text{J}}{\text{K}} \right] \xrightarrow{dQ = dU - dW = dU + pdV} C_V = \left. \frac{\partial Q}{\partial T} \right|_V = \left. \frac{\partial U}{\partial T} \right|_V \quad C_p = \left. \frac{\partial Q}{\partial T} \right|_p$$

- molare Wärmekapazität

- spezifische Wärmekapazität

$$c^{\text{mol}} \equiv \frac{\Delta Q}{\Delta T \cdot \text{mol}} \left[ \frac{\text{J}}{\text{K} \cdot \text{mol}} \right]$$

$$c^{\text{mass}} \equiv \frac{\Delta Q}{\Delta T \cdot \text{Masse}} \left[ \frac{\text{J}}{\text{K} \cdot \text{kg}} \right]$$

$$c^{\text{vol}} \equiv \frac{\Delta Q}{\Delta T \cdot \text{Volumen}} \left[ \frac{\text{J}}{\text{K} \cdot \text{m}^3} \right]$$

• **Wärmekapazität des Kristallgitters (Basis mit  $r'$  Atomen  $\rightarrow 3r'N$  wechselwirkungsfreie Schwingungsmoden)**

- **klassische Berechnung** von  $U \rightarrow$  Gleichverteilungssatz,  $\frac{1}{2} k_B T$  pro Freiheitsgrad

$$U = U^{\text{eq}} + \underbrace{3r'N}_{\# \text{ Schwingungsmoden}} \cdot \underbrace{2 \cdot \frac{1}{2} k_B T}_{\text{kinetische und potentielle Energie}} = U^{\text{eq}} + 3r'N k_B T \xrightarrow{\text{Gesetz von Dulong und Petit}} C_V = 3r'N k_B$$

$$c^{\text{mol}} = 3r'N_A k_B = 3r' R = 3r' \cdot 8.31 \text{ J/mol} \cdot \text{K} \quad R = \text{allegemeine Gaskonstante}$$